



Министерство науки и высшего образования Российской Федерации  
федеральное государственное бюджетное образовательное учреждение  
высшего профессионального образования  
«Московский государственный технический университет имени  
Н.Э. Баумана (национальный исследовательский университет)»  
(МГТУ им. Н.Э. Баумана)

ФАКУЛЬТЕТ «Робототехники и комплексной автоматизации»  
КАФЕДРА «Системы автоматизированного проектирования (РК-6)»

## ОТЧЕТ О ВЫПОЛНЕНИИ ЛАБОРАТОРНОЙ РАБОТЫ по дисциплине «Вычислительная математика»

Студент:	Израелян Ева Арамовна
Группа:	РК6-54Б
Тип задания:	лабораторная работа
Тема:	Модель биологического нейрона

Студент

\_\_\_\_\_  
подпись, дата

Израелян Е.А.  
\_\_\_\_\_  
Фамилия, И.О.

Преподаватель

\_\_\_\_\_  
подпись, дата

\_\_\_\_\_  
Фамилия, И.О.

Москва, 2021

# Содержание

<b>Модель биологического нейрона</b>	<b>3</b>
1    Задание . . . . .	3
2    Цель выполнения лабораторной работы . . . . .	5
3    Вычисление дискретных траекторий системы ОДУ . . . . .	5
Реализация метода Эйлера . . . . .	5
Реализация неявного метода Эйлера . . . . .	6
Реализация метода Рунге–Кутты 4-го порядка . . . . .	7
4    Зависимость потенциала мембраны $v$ от времени $t$ . . . . .	7
5    Особенности характерных режимов . . . . .	9
6    Особенности реализованных методов для решения системы ОДУ . . . . .	10
7    Моделирование нейронной сети . . . . .	10
8    Заключение . . . . .	11

# Модель биологического нейрона

## 1 Задание

Численные методы решения задачи Коши для систем обыкновенных дифференциальных уравнений (ОДУ) 1-го порядка активно используются далеко за пределами стандартных инженерных задач. Примером области, где подобные численные методы крайне востребованы, является нейробиология, где открытые в XX веке модели биологических нейронов выражаются через дифференциальные уравнения 1-го порядка. Математическая формализация моделей биологических нейронов также привела к появлению наиболее реалистичных архитектур нейронных сетей, известных как спайковые нейронные сети (Spiking Neural Networks). В данной лабораторной работе мы исследуем одну из простейших моделей подобного типа: модель Ижикевича.

### Задача 20 (Модель Ижикевича)

Дана система из двух ОДУ 1-го порядка:

$$\begin{cases} \frac{dv}{dt} = f_1(u, v) = 0.04v^2 + 5v + 140 - u + 1; \\ \frac{du}{dt} = f_2(u, v) = a(bv - u); \end{cases} \quad (1)$$

и дополнительного условия, определяющего возникновение импульса в нейроне:

$$\text{если } v \geq 30, \text{ то } \begin{cases} u \leftarrow c; \\ u \leftarrow u + d; \end{cases} \quad (2)$$

где  $v$  - потенциал мембраны (мВ),  $u$  - переменная восстановления мембраны (мВ),  $t$  - время (мс),  $I$  - внешний ток, приходящий через синапс в нейрон от всех нейронов, с которым он связан.

Описание параметров представленной системы:

$a$  - задаёт временной масштаб для восстановления мембраны (чем больше  $a$ , тем быстрее происходит восстановление после импульсов);

$b$  - чувствительность переменной восстановления к флуктуациям разности потенциалов;

$c$  - значение потенциала мембраны сразу после импульса;

$d$  - значение переменной восстановления мембраны сразу после импульса.

Таблица 1. Характерные режимы заданной динамической системы и соответствующие значения её параметров

Режим	$a$	$b$	$c$	$d$
Tonic spiking (TS)	0.02	0.2	-65	6
Phasic spiking (PS)	0.02	0.25	-65	6
Chattering (C)	0.02	0.2	-50	2
Fast spiking (FS)	0.1	0.2	-65	2

**Требуется** (базовая часть):

1. Реализовать следующие функции, каждая из которых возвращает дискретную траекторию системы ОДУ с правой частью, заданной функцией  $f$ , начальным условием  $x_0$ , шагом по времени  $h$  и конечным временем  $t_n$ :
  - $\text{euler}(x_0, t_n, f, h)$ , где дискретная траектория строится с помощью метода Эйлера;
  - $\text{implicit\_euler}(x_0, t_n, f, h)$ , где дискретная траектория строится с помощью неявного метода Эйлера;
  - $\text{runge\_kutta}(x_0, t_n, f, h)$ , где дискретная траектория строится с помощью метода Рунге–Кутты 4-го порядка.
2. Для каждого из реализованных методов численно найти траектории заданной динамической системы, используя шаг  $h = 0.5$  и характерные режимы, указанные в таблице 1. В качестве начальных условий можно использовать  $v(0) = c$  и  $u(0) = bv(0)$ . Внешний ток принимается равным  $I = 5$ .
3. Вывести полученные траектории на четырех отдельных графиках как зависимости потенциала мембраны  $v$  от времени  $t$ , где каждый график должен соответствовать своему характерному режиму работы нейрона.
4. По полученным графикам кратко описать особенности указанных режимов.

**Требуется** (продвинутая часть):

1. Объяснить, в чем состоят принципиальные отличия реализованных методов? В чем они схожи?
2. Произвести интегрирование во времени до 1000 мс нейронной сети с помощью метода Эйлера, используя следующую информацию:
  - (а) Динамика каждого нейрона в нейронной сети описывается заданной моделью Ижикевича. В нейронной сети имеется 800 возбуждающих нейронов и 200 тормозных. Возбуждающие нейроны имеют следующие значения параметров:  $a = 0.02$ ,  $b = 0.2$ ,  $c = -65 + 15\alpha^2$ ,  $d = 8 - 6\beta^2$  и внешний ток в отсутствие токов от других нейронов равен  $I = I_0 = 5\xi$ , где  $\alpha$ ,  $\beta$  и  $\xi$  - случайные числа от 0 до 1. Тормозные нейроны имеют следующие значения параметров:  $a = 0.02 + 0.08\gamma$ ,  $b = 0.25 - 0.05\delta$ ,  $c = -65$ ,  $d = 2$  и внешний ток в отсутствие токов от других нейронов равен  $I = I_0 = 2\zeta$ , где  $\gamma$ ,  $\delta$  и  $\zeta$  - случайные числа от 0 до 1. В качестве начальных условий используются значения  $v(0) = -65$  и  $u(0) = bv(0)$ .
  - (б) Нейронная сеть может быть смоделирована с помощью полного графа. Матрица смежности  $W$  этого графа описывает значения токов, передаваемых от нейрона к нейрону в случае возникновения импульса. То есть, при возникновении импульса нейрона  $j$  внешний ток связанного с ним нейрона  $i$  одновременно увеличивается на величину  $W_{ij}$  и затем сразу же падает до нуля, что и моделирует передачу импульса по нейронной сети. Значение  $W_{ij}$  равно  $0.5\theta$ , если нейрон  $j$

является возбуждающим, и  $-\tau$ , если тормозным, где  $\theta$  и  $\tau$  – случайные числа от 0 до 1.

3. Вывести на экран импульсы всех нейронов как функцию времени и определить частоты характерных синхронных (или частично синхронных) колебаний нейронов в сети.

## 2 Цель выполнения лабораторной работы

Цель выполнения лабораторной работы – изучить и применить на практике численные методы решения задачи Коши для системы ОДУ. Получить траектории потенциала мембраны биологического нейрона и выявить особенности характерных режимов. Сравнить рассмотренные методы и смоделировать нейронную сеть.

## 3 Вычисление дискретных траекторий системы ОДУ

Рассмотрим систему ОДУ 1-ого порядка в векторном виде:

$$\frac{dy}{dt} = f(t, y)$$

с начальными условиями  $y_1(a) = \alpha_1, \dots, y_n(a) = \alpha_n$ , где  $t \in [a; b]$ .

Все рассматриваемые методы предполагают дискретизацию координаты  $t$  в сетку вида  $t_i = a + ih$ ,  $i = 1, \dots, m$ , где  $h = \frac{b-a}{m} = t_{i+1} - t_i$  называют шагом. Это автоматически даёт дискретизацию решения  $y(t)$  в виде  $y_i = y(t_i)$ .

### Реализация метода Эйлера

Метод Эйлера формулируется следующим образом:

$$\begin{aligned} w_0 &= \alpha \\ w_{i+1} &= w_i + hf(t_i, w_i), \quad i = 0, 1, \dots, m-1, \end{aligned} \tag{3}$$

где  $w_i \approx y(t_i)$ .

Программная реализация метода Эйлера (3) с учётом дополнительного условия, определяющего возникновение импульса в нейроне (2), представлена в Листинге 1.

Листинг 1. Код функции `euler(x_0, t_n, f, h)`

```
1 def euler(x_0, t_n, f, h):
2     m = int((t_n - t_0) / h)
3     w = np.zeros(shape = (m + 1, len(x_0)))
4     t = np.linspace(t_0, t_n, m + 1)
5     w[0] = x_0
6     for i in range(m):
7         if w[i][0] >= 30: # проверка на возникновение импульса
8             w[i][0] = c
```

```

9      w[i][1] += d
10     w[i + 1] = w[i] + h*f(t[i], w[i])
11     return t, w

```

## Реализация неявного метода Эйлера

Формулировка неявного метода Эйлера имеет следующий вид:

$$\begin{aligned}
 w_0 &= \alpha \\
 w_{i+1} &= w_i + hf(t_i, w_{i+1}), \quad i = 0, 1, \dots, m-1.
 \end{aligned}
 \tag{4}$$

Данный метод требует решения нелинейного уравнения относительно  $w_{i+1}$ :

$$w_{i+1} - w_i - hf(t_i, w_{i+1}) = 0$$

Для его решения использовалась функция `scipy.optimize.root`, в качестве начального приближения использовалось предыдущее значение  $w_i$ . Код функции, реализующей неявный метод Эйлера (4), представлен в Листинге 2.

Листинг 2. Код функции `implicit_euler(x_0, t_n, f, h)`

```

1 def implicit_euler(x_0, t_n, f, h):
2     m = int((t_n - t_0) / h)
3     w = np.zeros(shape = (m + 1, len(x_0)))
4     t = np.linspace(t_0, t_n, m + 1)
5     w[0] = x_0
6     for i in range(m):
7         if w[i][0] >= 30: # проверка на возникновение импульса
8             w[i][0] = c
9             w[i][1] += d
10        cur_w = w[i]
11        def func(x):
12            return x - cur_w - h*f(t[i], x)
13        sol = root(func, cur_w)
14        w[i + 1] = sol.x
15    return t, w

```

## Реализация метода Рунге–Кутты 4-го порядка

Формулировка метода Рунге–Кутты 4-го порядка имеет вид:

$$\begin{aligned}w_0 &= \alpha, \\k_1 &= hf(t_i, w_i), \\k_2 &= hf\left(t_i + \frac{h}{2}, w_i + \frac{1}{2}k_1\right), \\k_3 &= hf\left(t_i + \frac{h}{2}, w_i + \frac{1}{2}k_2\right), \\k_4 &= hf(t_i + h, w_i + k_3), \\w_{i+1} &= w_i + \frac{1}{6}(k_1 + 2k_2 + 2k_3 + k_4), \quad i = 0, 1, \dots, m-1,\end{aligned}\tag{5}$$

Код функции, реализующей метод Рунге-Кутты 4-ого порядка (5), представлен в Листинге 3.

Листинг 3. Код функции `runge_kutta(x_0, t_n, f, h)`

```
1 def runge_kutta(x_0, t_n, f, h):
2     m = int((t_n - t_0) / h)
3     w = np.zeros(shape = (m + 1, len(x_0)))
4     k1 = k2 = k3 = k4 = np.zeros(shape = (1, len(x_0)))
5     t = np.linspace(t_0, t_n, m + 1)
6     w[0] = x_0
7     for i in range(m):
8         if w[i][0] >= 30: # проверка на возникновение импульса
9             w[i][0] = c
10            w[i][1] += d
11            k1 = h*f(t[i], w[i])
12            k2 = h*f(t[i] + h/2., w[i] + k1/2.)
13            k3 = h*f(t[i] + h/2., w[i] + k2/2.)
14            k4 = h*f(t[i] + h, w[i] + k3)
15            w[i + 1] = w[i] + (k1 + 2*k2 + 2*k3 + k4)/6.
16     return t, w
```

## 4 Зависимость потенциала мембраны $v$ от времени $t$

В контексте поставленной задачи:  $f = [f_1(u, v), f_2(u, v)]^T$  (см. систему (1)). Код функции  $f(t, w)$ , которая будет передаваться в ранее перечисленные функции, вычисляющие дискретные траектории системы ОДУ, представлен в Листинге 4.

Листинг 4. Код функции  $f(t, w)$

```
1 def f(t, w):
2     v, u = w[0], w[1]
3     v_new = 0.04*v**2 + 5*v + 140 - u + I
```

```

4 | u_new = a*(b*v - u)
5 | w_new = np.asarray([v_new, u_new])
6 | return w_new

```

Для получения графиков зависимостей  $v(t)$  в цикле сначала подбирались значения параметров  $a$ ,  $b$ ,  $c$ ,  $d$  в соответствии с режимом (см. таблицу (1)). Затем устанавливались начальные условия и с помощью реализованных функций рассчитывались дискретные траектории заданной динамической системы. За конечное время  $t_n$  было принято значение 100. Код для вывода полученных траекторий на 4 отдельных графиках как зависимостей потенциала мембраны  $v$  от  $t$  представлен в Листинге 5.

Листинг 5. Код для получения зависимостей  $v(t)$  для 4 режимов

```

1 | fig, axs = plt.subplots(2, 2, figsize=(25, 15))
2 | for i in range(4):
3 |     mode_name, a, b, c, d = modes[i].values() # коэффициенты режима
4 |     j, k = loc[i].values() # расположение графика
5 |     x_0 = np.asarray([c, b*c]) # начальные условия
6 |     t_euler, w_euler = euler(x_0, t_n, f, h) # метод Эйлера
7 |     t_kutta, w_kutta = runge_kutta(x_0, t_n, f, h) # метод Рунге-Кутты
8 |     t_imp, w_imp = implicit_euler(x_0, t_n, f, h) # неявный метод Эйлера
9 |     v = get_v(len(t_euler), w_euler, w_kutta, w_imp) # получение значений v
10 |    axs[j, k].set_title(mode_name)
11 |    axs[j, k].plot(t_euler, v[0], linewidth=2, label = r'Euler')
12 |    axs[j, k].plot(t_kutta, v[1], linewidth=2, label = r'Runge-Kutta')
13 |    axs[j, k].plot(t_imp, v[2], linewidth=2, label = r'Implicit Euler')

```

Полученные зависимости представлены на рис. 1.



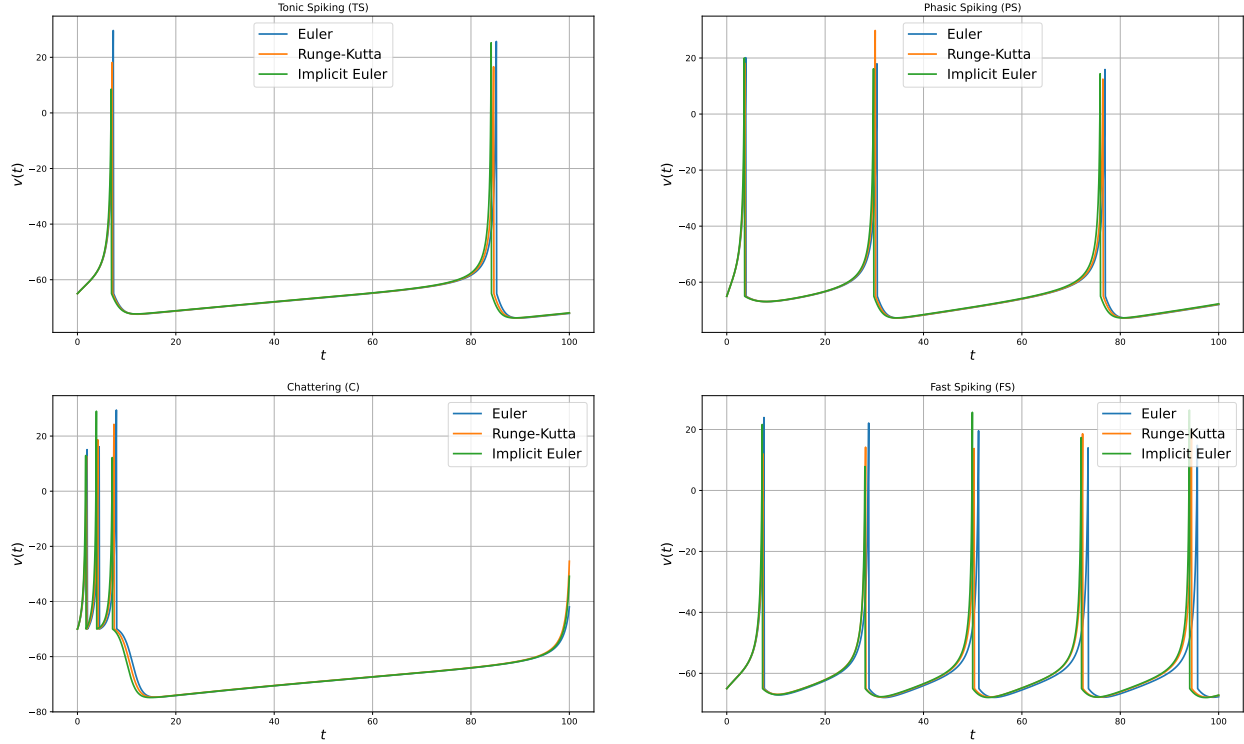


Рис. 1. Зависимость потенциала мембраны  $v$  от времени  $t$  для 4 характерных режимов.

## 5 Особенности характерных режимов

Полученные графики можно объяснить параметрами характерных режимов (см. таблицу (1)).

1. Параметр  $a$  задаёт временной масштаб для восстановления мембраны, его значение у режима Fast Spiking наибольшее. На рис. 1 мы можем наблюдать, что у графика, соответствующего режиму Fast Spiking, восстановление мембраны происходит быстрее, чем у остальных режимов.
2. В режиме Chattering мы можем наблюдать несколько импульсов подряд, после чего идёт долгое восстановление мембраны. Это объясняется тем, что значение параметра  $c$ , задающего значение потенциала мембраны сразу после импульса, у данного режима больше, чем у остальных.
3. В режиме Tonic Spiking за заданный временной промежуток происходит всего два импульса, когда у Phasic Spiking мы наблюдаем три импульса. Это связано с тем, что значение параметра  $b$ , задающее чувствительность переменной восстановления к флуктуациям разности потенциалов, у режима Phasic Spiking больше. Остальные параметры у этих двух режимов одинаковы.

## 6 Особенности реализованных методов для решения системы ОДУ

1. Рассмотренные в ходе лабораторной работы методы для решения системы ОДУ схожи тем, что предполагают дискретизацию координаты  $t$ . Вычисление значения каждой новой точки происходит на основе значения предыдущей.
2. Особенность метода Эйлера заключается в его порядке точности. Из курса лекций нам известно, что данный метод имеет глобальную погрешность  $O(h)$  и локальную погрешность  $O(h^2)$ . Несмотря на это он самый быстрый из рассмотренных.
3. Метод Рунге-Кутты 4-ого порядка имеет большую вычислительную сложность, так как предполагает вычисление значений  $k_1, k_2, k_3, k_4$  (то есть 4 вычисления функции  $f(t, y)$ ) на каждой итерации. Однако данный метод имеет высокий порядок точности  $O(h^4)$ .
4. Так как неявный метод Эйлера предполагает решение нелинейных уравнений, его погрешность будет включать в себя погрешность выбранного метода их решения. Вычислительная сложность также будет зависеть от подхода к решению нелинейных уравнений. Однако этот метод имеет свойство абсолютной устойчивости.

## 7 Моделирование нейронной сети

Требовалось произвести интегрирование во времени до 1000 мс нейронной сети с помощью метода Эйлера. Для начала были сгенерированы значения параметров  $a, b, c, d$  для 800 возбуждающих и 200 тормозящих нейронов. Для получения случайных чисел использовалась функция `pr.random.uniform`. Далее согласно условию были заданы начальные значения  $u$  и  $v$  для всех 1000 нейронов. Также создана матрица смежности  $W$ , описывающая значения токов, передаваемых от нейрона к нейрону в случае возникновения импульса. На временном промежутке от 0 до 1000 с шагом 0.5 рассчитывались значения  $u$  и  $v$  при помощи ранее рассмотренного метода Эйлера. На каждом шаге производилась проверка на возникновение импульса в нейронах, и индексы нейронов, в которых возник импульс, сохранялись для дальнейшего вывода на график. Внешний ток нейронов, связанных с нейронами, в которых возник импульс, увеличивался на величину  $W_{ij}$  согласно условию.

Полученный график в виде функции времени, где ось абсцисс соответствует времени, а ось ординат - номеру нейрона, представлен на рис 2.

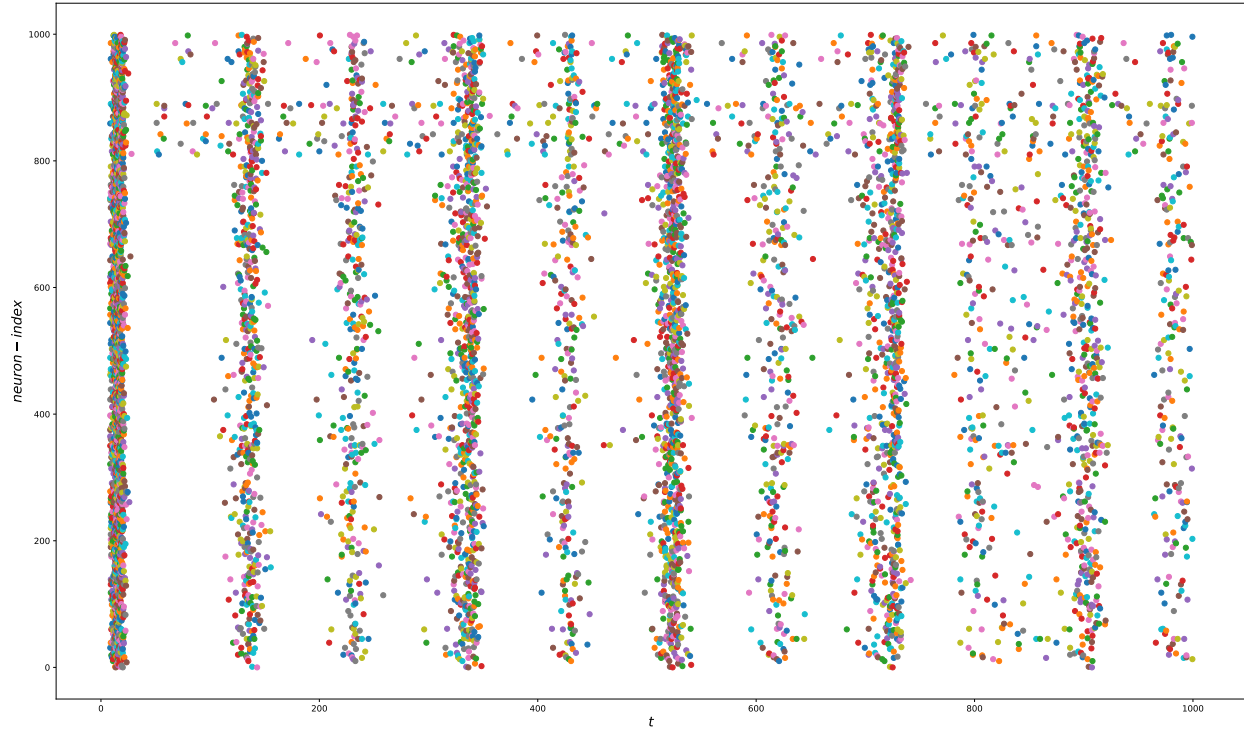


Рис. 2. Функция времени, где ось абсцисс соответствует времени, а ось ординат - номеру нейрона, точки - импульсам в нейронах.

## 8 Заключение

1. В ходе лабораторной работы были реализованы функции для решения системы ОДУ такими методами, как метод Эйлера, неявный метод Эйлера, метод Рунге-Кутты 4-ого порядка. Эти функции были применены для получения дискретных траекторий системы ОДУ 1-ого порядка (1).
2. По полученным графикам были сделаны выводы о характерных режимах заданной динамической системы. Наглядно было рассмотрено влияние значений параметров каждого характерного режима на потенциал мембраны  $v(t)$ .
3. Были найдены сходства и различия реализованных методов. Особенностью метода Эйлера были его скорость и большая погрешность. Метод Рунге-Кутты оказался более точным, но вместе с тем более вычислительно сложным. Неявный метод Эйлера, несмотря на свою устойчивость, также имел высокую вычислительную сложность из-за необходимости решения системы нелинейных уравнений.
4. Была смоделирована нейронная сеть с помощью полного графа и получен график функции времени с частично синхронными колебаниями нейронов. Период колебаний примерно равен 100 мс, а значит частота колебаний примерно равна 10 Гц.

## Список использованных источников

1. Першин А.Ю. Лекции по курсу «Вычислительная математика». Москва, 2018-2021. С. 140.

## Выходные данные

Израелян Е.А.. Отчет о выполнении лабораторной работы по дисциплине «Вычислительная математика». [Электронный ресурс] — Москва: 2021. — 12 с. URL: <https://sa2systems.ru:88> (система контроля версий кафедры РК6)

Постановка:



ассистент кафедры РК-6, PhD А.Ю. Першин

Решение и вёрстка:



студент группы РК6-54Б, Израелян Е.А.

2021, осенний семестр